

## **Curs 1**

### **REZISTENTA SI STABILITATEA ELEMENTELOR STRUCTURILOR DIN OTEL**

- Rezistenta elementelor structurale din otel
  - Calcul la nivelul secțiunii elementelor structurale (rezistenta secțiunilor)
- Stabilitatea elementelor structurale din otel
  - Rezistenta secțiunii+efectul rigiditatii elementelor structurale (L,A,I,E) ➔ (Rezistenta elemetelor structurale)
- Comportarea si calculul elementelor structurale din otel in domeniul post-elastic (elasto-plastic)
- Solicitarea la oboseala a elementelor structurale din otel.
- Probleme specifice comportării si calculului elementelor din otel cu pereți subțiri formate la rece.

#### **Bibliografie:**

- Eurocode 3, Partile:
  - 1.1 (EN 1993-1-1) – Elemente generale
  - 1.3 (EN 1993-1-3) – Elemente din otel cu pereți subțiri formate la rece
  - 1.5 (EN 1993-1-5) – Placi plane încărcate in planul lor
  - 1.8 (EN 1993-1-8) – Îmbinări
  - 1.9 (EN 1993-1-9) – Calculul la oboseala
- Construcții cu structura metalica (C.DALBAN) – EDP, București 1997
- Calculul structurilor metalice – Eurocode 3 : Exemple de calcul (D.Dubina, J. Rondal, I.Vayas) 1997
- Calculul si proiectarea constructiilor din profile metalice din profile metalice cu pereti subtiri formate la rece(D.Dubina, V.Ungureanu ) Vol.I, Colectia LINDAB, 2004.

# REZISTENTA ELEMENTELOR STRUCTURALE DIN OTEL

|                                    |                        |                                 |
|------------------------------------|------------------------|---------------------------------|
| Bare                               | Compunere solidarizare | Grinzi si stalpi cu zubrele     |
|                                    |                        | Grinzi si stalpi cu inima plina |
| Fire                               |                        | Cadre                           |
| Placi                              |                        | Arce                            |
| Structuri din placi plane si curbe |                        |                                 |

***Calculul de rezistenta si stabilitate a structurilor din bare depinde de clasa sectiunilor:1,2,3,4***

- Clasa 1 : “plastica”, cu capacitatea de rotire plastica pentru a forma articulatii plastice.
- Clasa 2 : “plastica”, fara capacitate de rotire plastica suficienta.
- Clasa 3 : “elastica”
- Clasa 4 : “elastica” cu sctiune redusa (efectiva sau eficace)

***Valorile de calcul a rezistetelor depind de clasa sectiunilor.***

Tabelul 5.2– Rapoarte lățime-grosime maxime pentru pereții comprimați

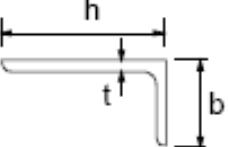
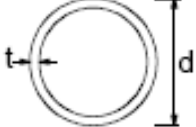
| Pereți comprimați interiori                              |                             |                             |   |
|--|-----------------------------|-----------------------------|---|
|  |                             |                             |   |
| Clasă  | Perete supus la încovoiere  | Perete supus la compresiune | Perete supus la încovoiere și compresiune   |
| Distribuția tensiunilor în pereți (compresiune pozitivă) |                             |                             |   |
| 1  | $c/t \leq 72\epsilon$       | $c/t \leq 33\epsilon$       | $\text{unde } \alpha > 0,5 : c/t \leq \frac{396\epsilon}{13\alpha - 1}$ $\text{unde } \alpha \leq 0,5 : c/t \leq \frac{36\epsilon}{\alpha}$       |
| 2  | $c/t \leq 83\epsilon$       | $c/t \leq 38\epsilon$       | $\text{unde } \alpha > 0,5 : c/t \leq \frac{456\epsilon}{13\alpha - 1}$ $\text{unde } \alpha \leq 0,5 : c/t \leq \frac{41,5\epsilon}{\alpha}$     |
| Distribuția tensiunilor în pereți (comprimare pozitivă)  |                             |                             |   |
| 3  | $c/t \leq 124\epsilon$      | $c/t \leq 42\epsilon$       | $\text{unde } \psi > -1 : c/t \leq \frac{42\epsilon}{0,67 + 0,33\psi}$ $\text{unde } \psi \leq -1^*) : c/t \leq 62\epsilon(1-\psi)\sqrt{(-\psi)}$ |
|  | $\epsilon = \sqrt{235/f_y}$ | $\frac{f_y}{\epsilon}$      | 235      275      355      420      480   |
|  |                             | $\frac{f_y}{\epsilon}$      | 1,00      0,92      0,81      0,75      0,71  |

\*)  $\psi \leq -1$  se aplică fie când tensiunea de compresiune  $\sigma \leq f_y$ , fie când deformarea specifică de întindere  $\epsilon_y > f_y/E$

Tabelul 5.2 (continuare) - Rapoarte lățime-grosime maxime pentru pereți comprimați

| Tâlpi în consolă   |                             |  |   |      |      |      |
|--|-----------------------------|--|---|------|------|------|
| Clasă  | Perete supus la compresiune | Perete supus la încovoiere și compresiune  |   |      |      |      |
|  |                             | Extremitate comprimată   | Extremitate întinsă                               |      |      |      |
| Distribuția tensiunilor în pereți (compresiune pozitivă) |                             |  |   |      |      |      |
| 1  | $c/t \leq 9\epsilon$        | $c/t \leq \frac{9\epsilon}{\alpha}$  | $c/t \leq \frac{9\epsilon}{\alpha\sqrt{\alpha}}$  |      |      |      |
| 2  | $c/t \leq 10\epsilon$       | $c/t \leq \frac{10\epsilon}{\alpha}$   | $c/t \leq \frac{10\epsilon}{\alpha\sqrt{\alpha}}$ |      |      |      |
| Distribuția tensiunilor în pereți (compresiune pozitivă) |                             |  |   |      |      |      |
| 3  | $c/t \leq 14\epsilon$       | $c/t \leq 21\epsilon\sqrt{k_\sigma}$<br>pentru $k_\sigma$ a se vedea EN 1993-1-5 |   |      |      |      |
| $\epsilon = \sqrt{235/f_y}$                              | $f_y$                       | 235  | 275   | 355  | 420  | 480  |
|  | $\epsilon$                  | 1,00   | 0,92  | 0,81 | 0,75 | 0,71 |

Tabelul 5.2 (continuare) - Rapoarte lățime-grosime maxime pentru pereți comprimați

|   |   |
|---|---|
| A se consulta și tâlpi în consolă (a Corniere se vedeaza foaia 2 din 3) |   |
|   |      |
|   | Nu se aplică cornierelor în contact continuu cu alte elemente                         |
| Clasă   | Secțiune comprimată   |
| Distribuția tensiunilor în pereți (compresiune pozitivă)                |      |
| 3   | $h/t \leq 15\epsilon: \frac{b+h}{2t} \leq 11,5\epsilon$                               |
| Secțiuni tubulare   |   |
|   |      |
| Clasă   | Secțiune supusă la încovoiere și/sau compresiune                                      |
| 1   | $d/t \leq 50\epsilon^2$   |
| 2   | $d/t \leq 70\epsilon^2$   |
| 3   | $d/t \leq 90\epsilon^2$<br>NOTĂ - pentru $d/t > 90\epsilon^2$ a se vedea EN 1993-1-8. |
| $\epsilon = \sqrt{235/f_y}$   | $f_y$   |
|   | $\epsilon$  |
|   | $\epsilon^2$  |

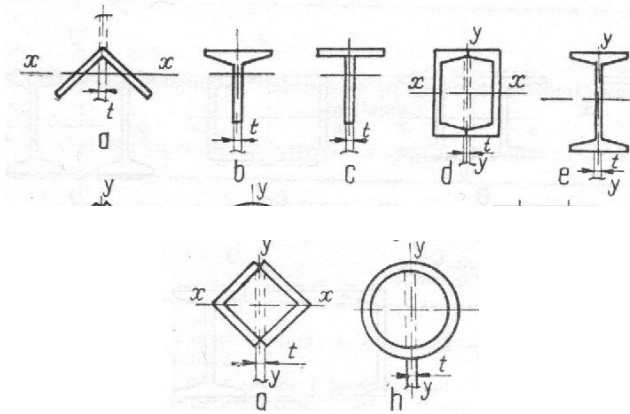
# BARE SOLICITATE LA EFORTURI AXIALE

## Calculul de rezistenta

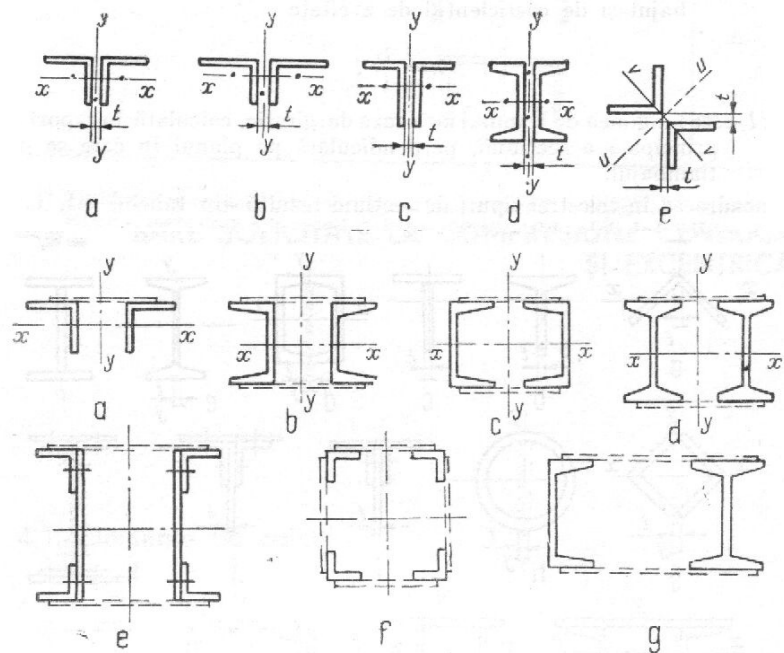
|                               |   |
|-------------------------------|---|
| Solicitarea se aplica centric |   |
| Intindere                     | → grinzi cu zibrele (prinse articulat in noduri si cu forte aplicate in noduri) |
| Compresiune                   | → structuri din bare articulate   |
|                               |   |

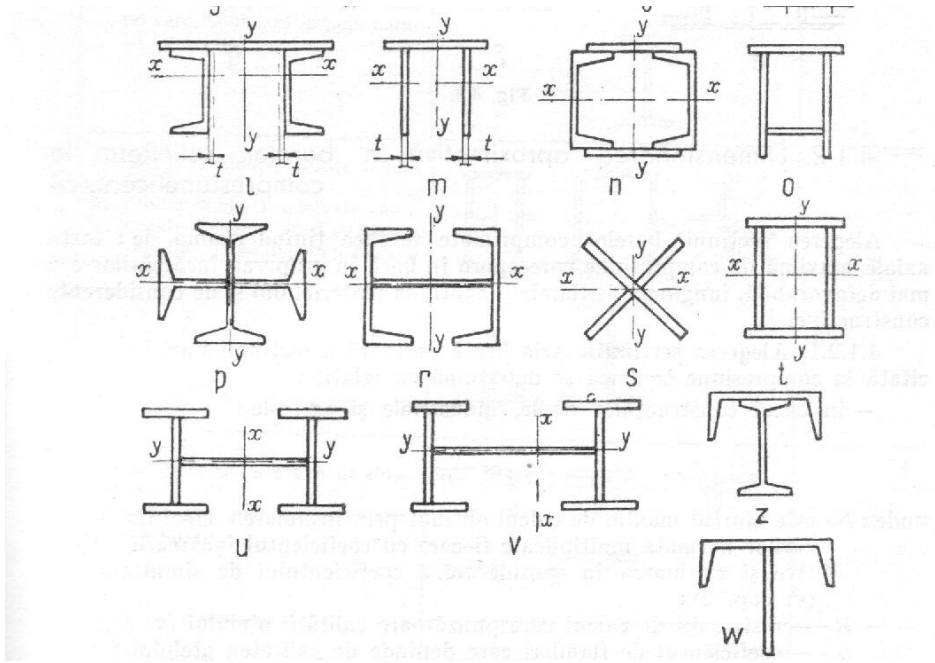
### Sectiuni

- simple (laminate sau sudate)



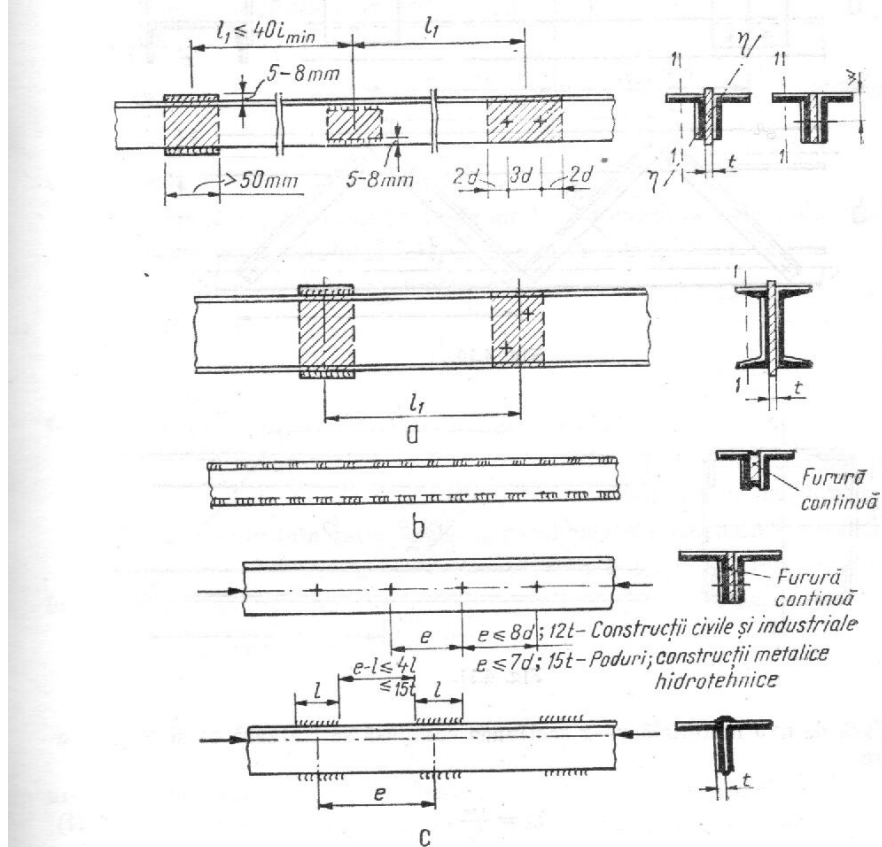
- compose





# SOLIDARIZAREA BARELOR CU SECTIUNE COMPUZA DIN ELEMENTE APROPIATE

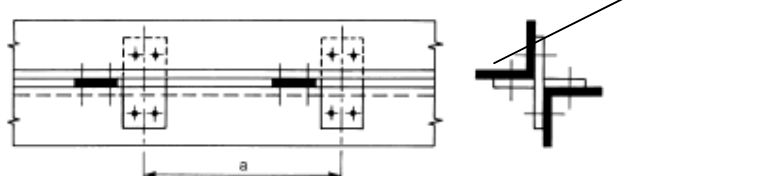
Corniere alăturate:



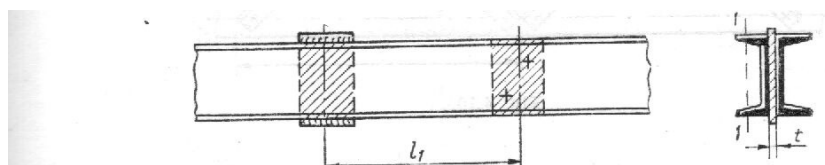
Distante intre solidarizari:

- $l_1 \leq 40 - 50i_1$  – compresiune
- $l_1 \leq 80i_1$  – intindere

Corniere in "fluture"

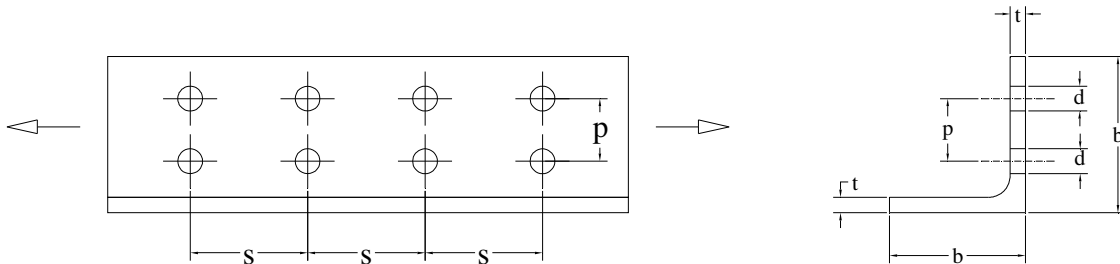


Profile U alăturate



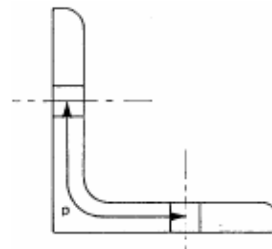
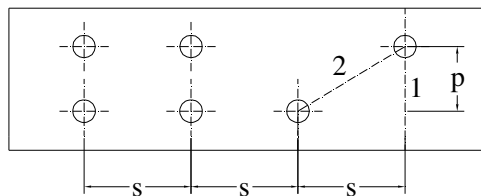
## SECTIUNEA NETA

Sectiunea neta se obtine scotand din sectiunea bruta slabirile produse de gaurile suruburilor sau alte goluri. Probleme apar la barele intinse.



$$A_{\text{net}} = A_{\text{br}} - 2(d \cdot t)$$

$2(d \cdot t)$  = slabirea



$$A_{\text{net},1} = A_{\text{br},1} (d \cdot t)$$

$$A_{\text{net},2} = A_{\text{br},2} 2(d \cdot t)$$

$$A_{\text{net},2} = [2(b - p/2) + \sqrt{p^2 + s^2}]t - 2dt$$

**Calculul se va face pentru aria neta minima.**

## BARE INTINSE

### Verificare

$$\frac{N_{Ed}}{N_{t,Rd}} \leq 1.0 \quad (1)$$

$N_{Ed}$  : Valoarea de calcul a efortului (forței) de întindere din acțiuni.

$N_{t,Rd}$  : Forță capabilă (rezistență de calcul) a barei solicitată de întindere (tractiune), care în cazul în care există slabiri se calculează cu secțiunea netă.

Pentru secțiuni cu slabiri :

$$N_{t,Rd} = \min(N_{pl,Rd}, N_{u,Rd}) \quad (2)$$

$$(\text{în secțiunea bruta}) N_{pl,Rd} = \frac{A \square f_y}{\gamma_{M_0}} \quad (3); \quad \gamma_{M_0} = 1.0$$

$$(\text{în dreptul gaurilor de fixare}) N_{u,Rd} = \frac{0.9 \square A_{\text{net}} \square f_u}{\gamma_{M_2}} \quad (4); \quad \gamma_{M_2} = 1.25$$

Pentru imbinari de categoria "C" (EN 1993-1.8) – rezistente la luncare la stare limita ultima:

$$N_{u,Rd} = N_{net,Rd} = \frac{A_{net} f_u}{\gamma_{M_0}} \quad (5)$$

Dimensionare:

$$N_{Ed} \leq N_{t,Rd} = \frac{1}{\gamma_{M_0}} f_y A \quad (6)$$

sau

$$N_{Ed} \leq N_{t,Rd} = \frac{1}{\gamma_{M_2}} f_u A_{net} \quad (7)$$

din (6), spre exemplu =>

$$A_{nec} \geq \frac{\gamma_{M_0}}{f_y} N_{Ed} \quad (8)$$

sau din (7):

$$A_{net,nec} \geq \frac{\gamma_{M_2}}{f_u} N_{Ed} \quad (9)$$

In principiu dimensionarea se face cu (8) si apoi daca este cazul se face verificarea in sectiune neta.

## BARE COMPRIMATE (verificare de rezistenta)

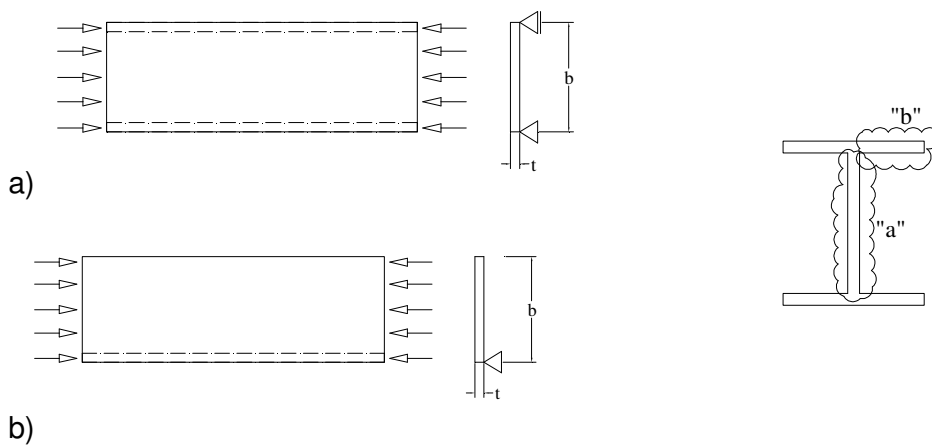
Verificare:

$$\frac{N_{Ed}}{N_{c,Rd}} \leq 1.0 \quad (10)$$

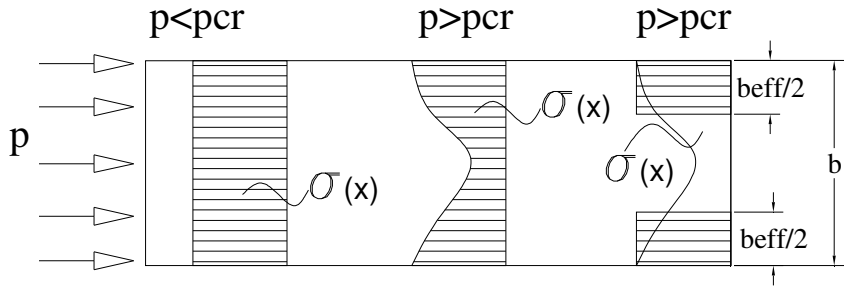
$$N_{c,Rd} = \frac{A f_y}{\gamma_{M_0}}, \text{ ptr. sectiuni de clasa 1, 2 si 3.} \quad (11)$$

$$N_{c,Rd} = \frac{A_{eff} f_y}{\gamma_{M_0}}, \text{ ptr. sectiuni de clasa 4.} \quad (12)$$

unde  $A_{eff}$  este aria sectiunii "efective" sau eficace calculata cu "latimea eficace."



## SECTIUNEA EFECTIVA SAU EFICACE LA BARE COMPRIMATE



$$\sigma < \sigma_{cr} \quad \dots \quad \sigma_{cr} < \sigma_{max} < f_y \dots \dots \sigma_{cr} < \sigma_{max} = f_y$$

$$P = p \square b = t \int_0^b \sigma(x) dx \cong (t \square b_{eff}) \square f_y \quad (12)$$

$$A_{eff} \cong (t \square b_{eff}) \\ b_{eff} = \rho \square b \quad (13)$$

$$\rho = \frac{\bar{\lambda}_p - 0.22}{\bar{\lambda}_p^2} \quad (14)$$

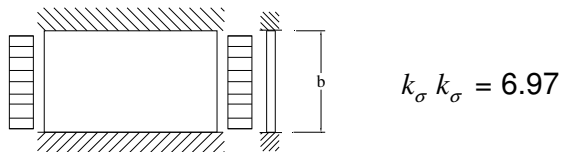
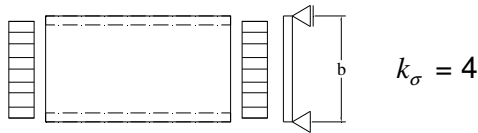
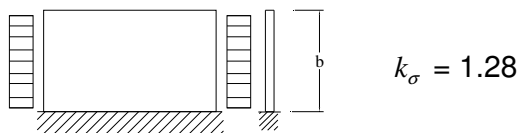
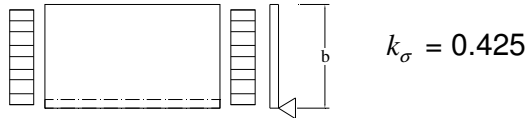
$$\bar{\lambda}_p = \sqrt{\frac{f_y}{\sigma_{cr}}} = \frac{b/t}{28.4 \epsilon \sqrt{k_\sigma}} \quad (15)$$

$$\sigma_{cr} = \frac{k_\sigma \square \pi^2 \square E}{12(1-\gamma^2)} \left( \frac{t}{b} \right)^2$$

$k_\sigma$  : coeficientul de valoare

$\bar{\lambda}_p$  : zvelitatea relative sau “redusa” a placii.

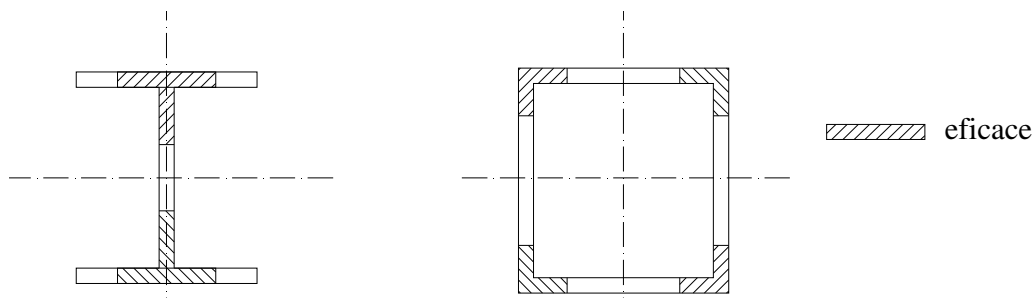
## LATIMEA EFECTIVA: Coeficientul de valoare



### Observatie:

In cazul variatiei liniare (gradient)  $\sigma_{(x)}$  pe sectiune, valorile  $k_\sigma$ , respectiv  $\rho$  se modifica.

### Sectiuni efective (compresiune centrica)



La sectiunile monosimetric, pozitia centrului de greutate al sectiunii efective poate fi diferit de cel al sectiunii brute.

## BARE COMPRIMATE

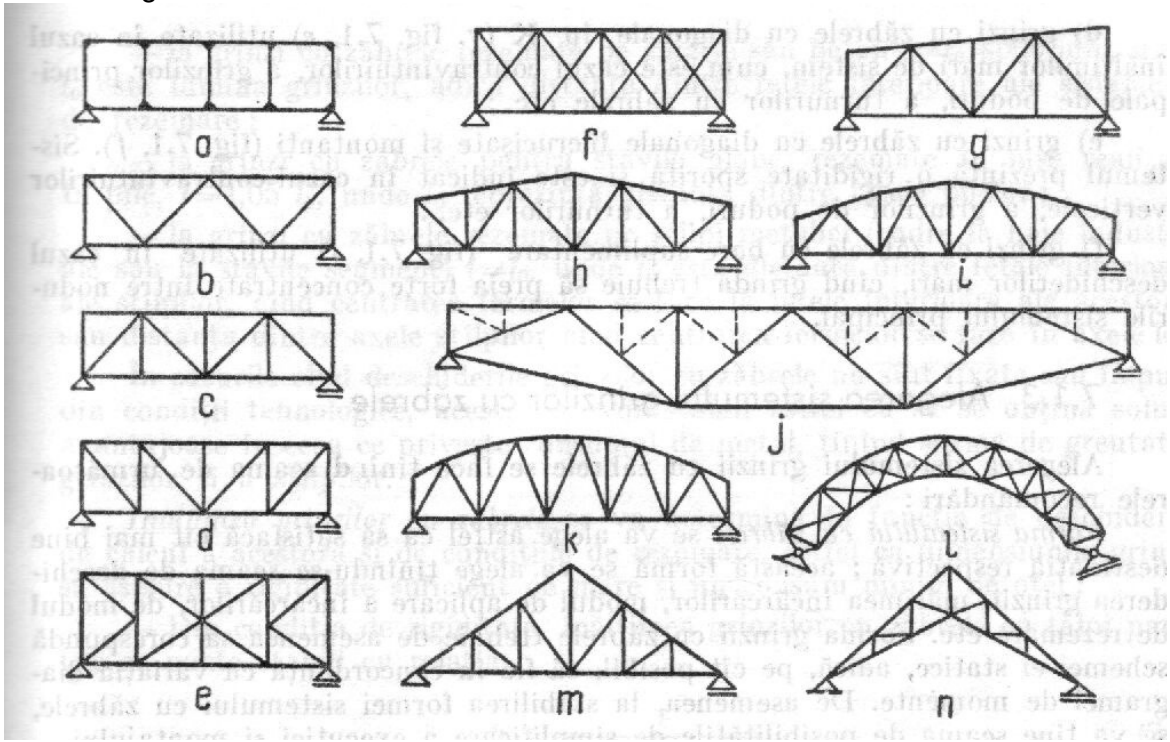
Dimensionare:

ex. dim (11)

$$A_{nec} \geq \frac{\gamma_{M_0}}{f_y} N_{Ed}$$

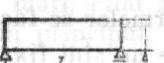
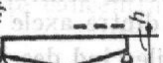
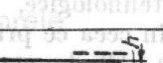
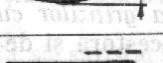
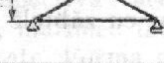
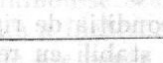
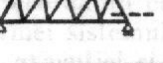
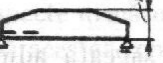
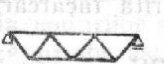
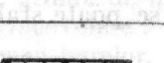
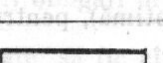
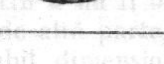
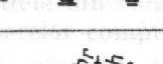
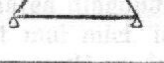
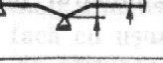
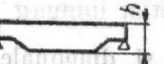
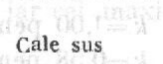
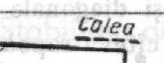
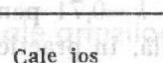
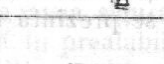
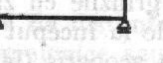
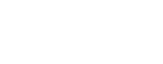
## GRINZI CU ZABRELE

Alcatuirea grinzilor cu zabrele:



Recomandari pentru alcătuire:

**Grinzi cu zăbrele. Înălțimi recomandate**

| Destinația construcției | Element                     | Forma grinzelii cu zăbrele   | Raport indicat $h/l$          | Destinația construcției | Element  | Forma grinzelii cu zăbrele   | Raport indicat $h/l$                |
|-------------------------|-----------------------------|--|-------------------------------|-------------------------|--|--|-------------------------------------|
| Construcții industriale | Ferme                       |     | $\frac{1}{6} - \frac{1}{10}$  | Poduri de sosca         |  | $\frac{1}{7} - \frac{1}{10}$   | $\frac{1}{7} - \frac{1}{10}$        |
|                         |                             |     | $\frac{1}{7} - \frac{1}{9}$   |                         |  |    | $h_r = \frac{1}{13} - \frac{1}{17}$ |
|                         | Girafă                      |     | $\frac{1}{2} - \frac{1}{4}$   |                         |  |    | $\frac{1}{5,5} - \frac{1}{8}$       |
|                         |                             |     | $\frac{1}{4} - \frac{1}{5}$   |                         |  |    | $\frac{1}{6} - \frac{1}{8}$         |
|                         | Pod rulant                  |     | $\frac{1}{7} - \frac{1}{10}$  |                         |  |    | $\frac{1}{7} - \frac{1}{10}$        |
|                         |                             |     | $\frac{1}{12} - \frac{1}{18}$ |                         |  |    | $\frac{1}{5,5} - \frac{1}{8}$       |
|                         | Stavilă plană               |    | $\frac{1}{12} - \frac{1}{18}$ |                         |  |   | $\frac{1}{8} - \frac{1}{12}$        |
|                         |                             |   | $\frac{1}{12} - \frac{1}{14}$ |                         |  |  | $\frac{1}{7} - \frac{1}{9}$         |
|                         | Grindă principala           |   | $\frac{1}{7} - \frac{1}{8}$   |                         |  |  | $\frac{1}{8} - \frac{1}{12}$        |
|                         |                             |   | $\frac{1}{7} - \frac{1}{10}$  |                         |  |  | $h_r = (1,2...1,5) l$               |
| Poduri de sosca         | Grindă ferată               |   | $\frac{1}{7} - \frac{1}{10}$  | Poduri de sosca         | Grindă principale  |  | $\frac{1}{17} - \frac{1}{20}$       |
|                         |                             |   | $\frac{1}{7} - \frac{1}{10}$  |                         |  |  | $\frac{1}{20}$                      |
|                         |                             |   | $\frac{1}{7} - \frac{1}{10}$  |                         |  |  | $\frac{1}{6} - \frac{1}{10}$        |
| Grindă principale       | Contravînturi longitudinale |  | $h_r = (1,2...1,5) l$         | Cale sus                | Grindă principale  |  | $\frac{1}{17} - \frac{1}{20}$       |
|                         |                             |  | $h_r = (1,2...1,5) l$         |                         |  |  | $\frac{1}{20}$                      |
| Poduri cale ferată      | Cale sus                    |  | $h_r = (1,2...1,5) l$         | Cale jos                | Grindă principale  |  | $\frac{1}{6} - \frac{1}{10}$        |
|                         |                             |  | $h_r = (1,2...1,5) l$         |                         |  |  | $\frac{1}{20}$                      |

$h_r$  = înălțimea la reazem

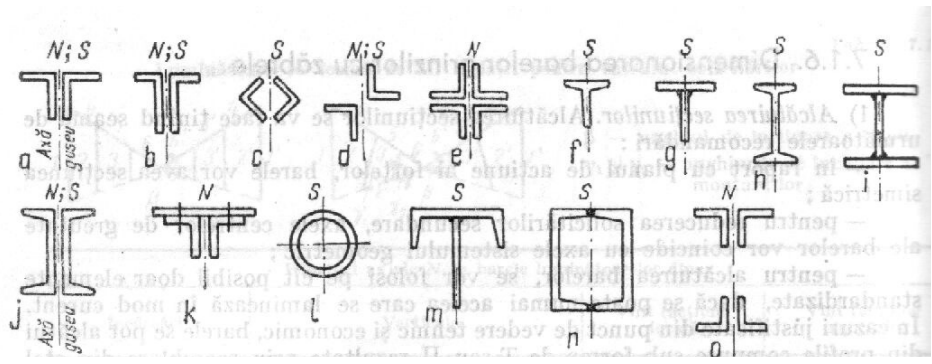
$h_r = (1/15...1/17) l$

$h_r = (1/13...1/17) l$

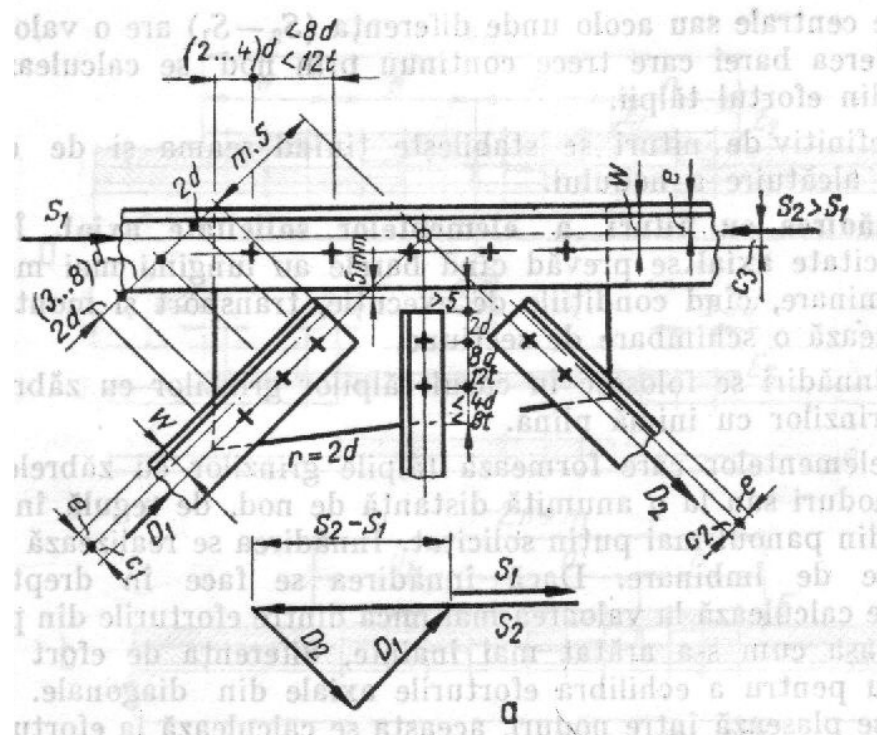
pentru prindere articulată.

pentru prindere rigidă.

Elemente componente ale secțiunilor:



## Nod cu suruburi :



## Nod sudat:

